

ДИФРАКЦИЯ ПЛОСКОЙ ГИДРОАКУСТИЧЕСКОЙ ВОЛНЫ НА ОТКРЫТОМ КОНЦЕ ПЛОСКОГО, ПОЛУБЕСКОНЕЧНОГО ВОЛНОВОДА С ТОНКИМИ УПРУГИМИ СТЕНКАМИ

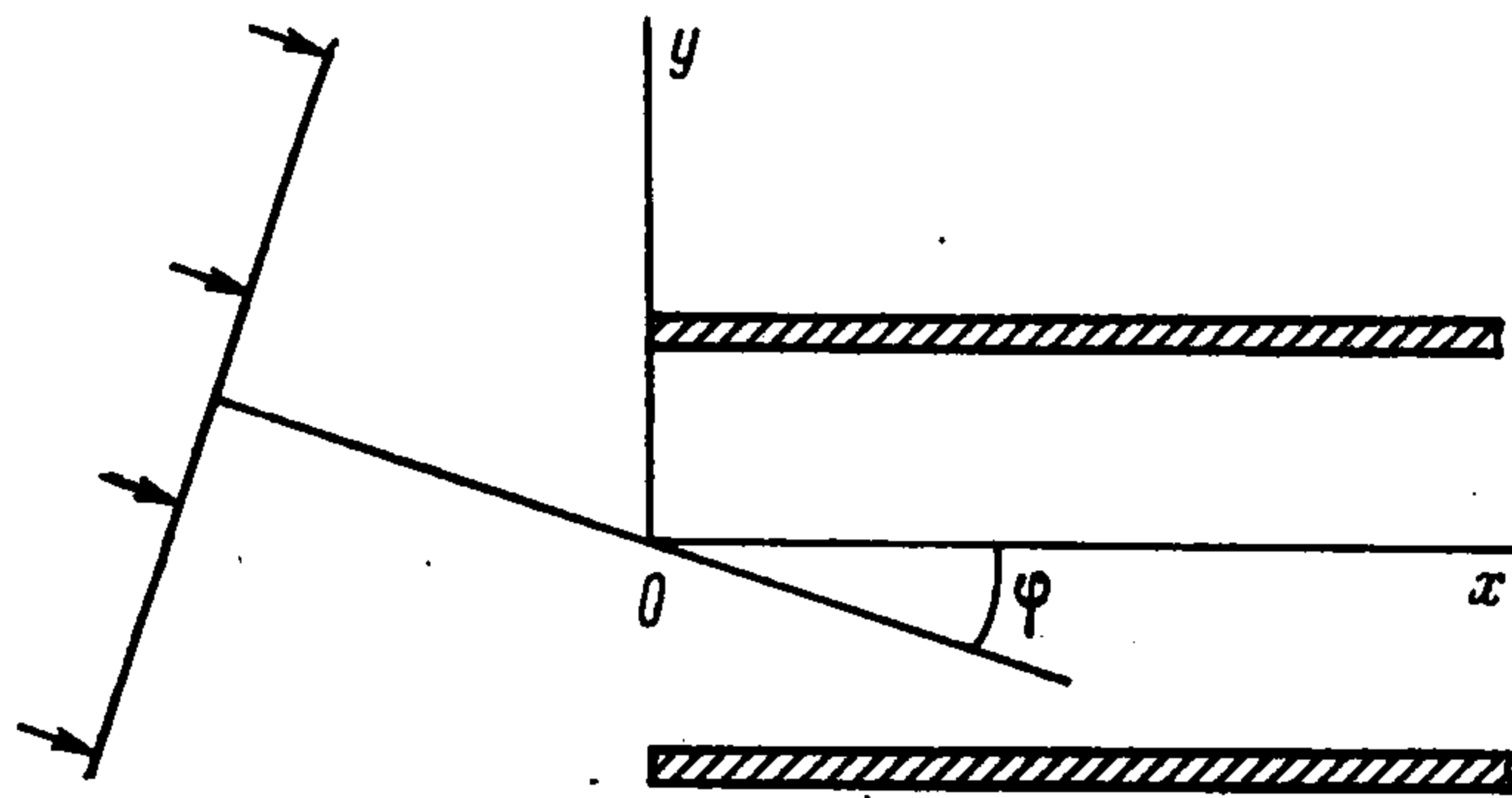
Л. А. Левицкий

(Ленинград)

Рассматриваются стационарные акустические колебания жидкости, в которую погружены две параллельные полуплоскости, образующие открытый полубесконечный волновод. Дифракция на открытом конце волновода с абсолютно жесткими (мягкими) стенками подробно изучена в работе [1]. В предлагаемой статье рассматривается волновод с полупрозрачными стенками. Искомой величиной считается давление, для которого внутри области предполагается выполненным уравнение Гельмгольца, на границе — некоторые условия, содержащие производные высокого порядка, а на ребре полуплоскостей — так называемые гранично-контактные условия. Выражения для граничных и гранично-контактных операторов не конкретизируются. Находится точное представление для давления в том случае, когда звуковое поле возбуждается плоской волной.

1. Постановка задачи. В сжимаемую жидкость помещены два одинаковых тонких полубесконечных параллельных экрана, образующих открытый плоский волновод. Ограничимся случаем несжимаемых стенок, поскольку учет сжимаемости материала стенок привел бы к задаче факторизации матрицы второго порядка; в общем случае для таких задач аналитическое решение неизвестно.

Пусть плоская гидроакустическая волна $A \exp[i(\mu x - \omega t)]$ ($\mu = k \cos \varphi$) набегаёт из жидкости на волновод под углом φ к экранам (см. фиг. 1).



Фиг. 1

Искомой величиной является поле, рассеянное от стенок волновода. Множитель $\exp(-i\omega t)$, задающий зависимость процессов от времени, везде опущен. Будем описывать акустические процессы в системе в терминах давления $P(x, y)$. Поставленная задача состоит в построении решения однородного уравнения Гельмгольца вне стенок волновода ($k = \omega / c$ — волновое число, ω — круговая частота, c — скорость звука в жидкости, $2a$ — ширина волновода) с граничными условиями на стенках

$$(1.1) \quad \Delta P(x, y) + k^2 P(x, y) = 0$$

$$(1.2) \quad \frac{\partial}{\partial y} P(x, \pm a + 0) = \frac{\partial}{\partial y} P(x, \pm a - 0)$$

$$(1.3) \quad LP(x, y) = m_1 \left(-\frac{\partial^2}{\partial x^2} \right) \frac{\partial}{\partial y} P(x, \pm a) + \\ + m_2 \left(-\frac{\partial^2}{\partial x^2} \right) [P(x, \pm a + 0) - P(x, \pm a - 0)] = 0 \quad (x > 0)$$

Условие (1.2) означает несжимаемость стенок и непрерывность вертикальных смещений на границе жидкости и экрана, условие (1.3) следует из уравнения динамики для пластин [2]. Операторы m_1, m_2 — полиномы аргумента $\partial^2 / \partial x^2$. Коэффициенты этих полиномов — функции механических параметров задачи и, вообще говоря, могут зависеть от волнового числа k . В соответствии с принципом предельного поглощения считаем $\text{Im} k > 0$. Решение при $\text{Im} k = 0$ получается предельным переходом $\text{Im} k \rightarrow 0$ [2].

Важный пример граничного условия вида (1.3) получим, считая стенки волновода тонкими, способными лишь к изгибным колебаниям пластинками

$$(1.4) \quad \left(\frac{\partial^4}{\partial x^4} - \chi^4 \right) \frac{\partial}{\partial y} P(x, \pm a) + \nu [P(x, \pm a + 0) - P(x, \pm a - 0)] = 0 \\ \chi = \chi_0 \sqrt{k}, \quad \chi_0^4 = 12(1 - \sigma^2) \rho_0 c^2 E^{-1} \\ \nu = \nu_0 k^2, \quad \nu_0 = 12(1 - \sigma^2) \rho c^2 E^{-1}$$

Здесь σ — модуль Пуассона, E — модуль Юнга, ρ_0 — плотность пластин, ρ — плотность жидкости. Величины x, y, k, a безразмерны, характерным размером служит толщина пластины h . Другой пример граничного условия (1.3) будем иметь, считая стенки волновода мембранами

$$\left(\frac{\partial^2}{\partial x^2} + \frac{\omega^2}{a^2} \right) \frac{\partial}{\partial y} P(x, \pm a) - \frac{\rho \omega^2}{a^2} [P(x, \pm a + 0) - P(x, \pm a - 0)] = 0 \\ a^2 = \frac{T}{\rho_0}$$

Здесь T — натяжение мембраны, ρ_0 — ее плотность.

В постановке (1.1) — (1.3) решение задачи не единственно, ибо не задан режим на кромках стенок волновода. Для выделения единственного решения необходимо сформулировать гранично-контактные условия, определяющие режим на кромках стенок (см. п. 4).

2. Построение решения. Из граничных условий (1.2), (1.3) видно, что на стенке волновода давление $P(x, y)$ испытывает скачок, а его нормальная производная непрерывна. Представим $P(x, y)$ как потенциал двойного слоя и введем скачки давления на стенках: $f_1(x)$ — на стенке $y = +a$, $f_2(x)$ — на стенке $y = -a$. Используя функцию Грина плоской задачи для уравнения Гельмгольца

$$G(\mathbf{r}, \mathbf{r}') = \pi i H_0^{(1)}(kr), \quad r = |\mathbf{r} - \mathbf{r}'|$$

где $H_0^{(1)}(kr)$ — функция Ханкеля, имеем для рассеянного поля

$$P_p(x, y) = -\frac{1}{4\pi} \int_{-\infty}^{+\infty} \left[f_1(x') \frac{\partial}{\partial y} G(\mathbf{r}, \mathbf{r}'_1) + f_2(x') \frac{\partial}{\partial y} G(\mathbf{r}, \mathbf{r}'_2) \right] dx'$$

Здесь $r_1'(x', a)$ и $r_2'(x', -a)$ — радиусы-векторы точек на верхней и нижней стенках. Применяв теорему о преобразовании Фурье свертки функций, получим

$$P_p(x, y) = -\frac{i}{4\pi} \frac{\partial}{\partial y} \int_{-\infty}^{+\infty} \frac{\exp(i\lambda x)}{\sqrt{k^2 - \lambda^2}} [F_1(\lambda) \exp(i\sqrt{k^2 - \lambda^2}|y - a| + \\ + F_2(\lambda) \exp(i\sqrt{k^2 - \lambda^2}|y + a|)] d\lambda$$

где $F_1(\lambda)$, $F_2(\lambda)$ — преобразования Фурье скачков $f_1(x)$, $f_2(x)$. В таком виде для $P_p(x, y)$ выполнен принцип предельного поглощения, удовлетворяется уравнение (1.1), $P(x, y)$ имеет скачок на стенках, а производная $P_y'(x, y)$ непрерывна при $y = \pm a$. Рассеянное поле непрерывно в окрестности кромок стенок волновода. Для обеспечения непрерывности $P(x, y)$ достаточно потребовать

$$F_1(\lambda) = O(\lambda^{-1-\varepsilon}), \quad F_2(\lambda) = O(\lambda^{-1-\varepsilon}), \quad 0 < \varepsilon < 1/2, \quad \lambda \rightarrow \pm \infty$$

Разложим полное поле $P(x, y)$ на части: симметричную по y $P_s(x, y)$ и антисимметричную $P_a(x, y)$

$$P(x, y) = P_s(x, y) + P_a(x, y); \quad 2P_s(x, y) = P(x, y) + \\ + P(x, -y)$$

Ниже подробно рассмотрим построение решения для симметричной части поля. Для антисимметричной части будем приводить лишь результаты, ибо вычисления одинаковы. Имеем

$$P_s(x, y) = A \exp(i\mu x) \cos(\sqrt{k^2 - \mu^2}y) - \\ - \frac{i}{4\pi} \frac{\partial}{\partial y} \int_{-\infty}^{+\infty} \frac{\exp(i\lambda x)}{\sqrt{k^2 - \lambda^2}} F_s(\lambda) [\exp(i\sqrt{k^2 - \lambda^2}|y - a|) - \\ - \exp(i\sqrt{k^2 - \lambda^2}|y + a|)] d\lambda \\ 2F_s(\lambda) = F_1(\lambda) - F_2(\lambda)$$

Запишем граничное условие (1.3) для поля $P_s(x, y)$

$$-A \exp(i\mu x) m_1(\mu^2) \sqrt{k^2 - \mu^2} \sin(\sqrt{k^2 - \mu^2}a) + \\ + \frac{1}{4\pi} \int_{-\infty}^{+\infty} F_s(\lambda) \exp(i\lambda x) l_s(\lambda) d\lambda = 0$$

$$l_s(\lambda) = i\sqrt{k^2 - \lambda^2} m_1(\lambda^2) [1 - \exp(2ai\sqrt{k^2 - \lambda^2})] + 2m_2(\lambda^2)$$

Учитывая, что при $x > 0$

$$\exp(i\mu x) = \frac{1}{2\pi i} \int_{-\infty}^{+\infty} \frac{\exp(i\lambda x)}{\lambda - \mu} d\lambda$$

получим интегральное уравнение

$$(2.1) \quad \int_{-\infty}^{+\infty} \exp(i\lambda x) \left[F_s(\lambda) l_s(\lambda) + \right. \\ \left. + 2Aim_1(\mu^2) \sin(a\sqrt{k^2 - \mu^2}) \sqrt{k^2 - \mu^2} \frac{1}{\lambda - \mu} \right] d\lambda = 0, \quad x > 0$$

Скачок акустического давления вне пластин равен нулю, поэтому второе интегральное уравнение будет иметь вид

$$(2.2) \quad \int_{-\infty}^{+\infty} \exp(i\lambda x) F_s(\lambda) d\lambda = 0 \quad (x < 0)$$

Корни дисперсионного уравнения

$$(2.3) \quad l_s(\lambda) = 0$$

дают волновые числа собственных, симметричных по y колебаний волновода. Будем считать, что алгебраический порядок $2S_1$ полинома $m_1(\lambda^2)$ не ниже степени $2S_2$ полинома $m_2(\lambda^2)$, а уравнение (2.3) при $\text{Im } k > 0$ не имеет вещественных корней на основном листе двулистной римановой поверхности функции $\sqrt{k^2 - \lambda^2}$. Выбор основного листа радикала $\sqrt{k^2 - \lambda^2}$ осуществим следующим образом. Из точки $\lambda = k$ проводим разрез, который при $|\lambda| \rightarrow \infty$ должен асимптотически приближаться к линии $\text{Im } \sqrt{k^2 - \lambda^2} = 0$. Точнее о виде разреза скажем ниже. Второй разрез из точки $\lambda = -k$ проводим симметрично с первым относительно точки $\lambda = 0$. Будем считать, что на основном листе $\lim_{\lambda \rightarrow \pm \infty} \text{Im } \sqrt{k^2 - \lambda^2} = +\infty$ при $\lambda \rightarrow \pm \infty$.

Корни уравнения (2.3) распадаются на две группы. Корни одной группы (их конечное число) приближаются при раздвижении стенок волновода ($ka \rightarrow \infty$) к корням дисперсионного уравнения

$$(2.4) \quad l(\lambda) = i\sqrt{k^2 - \lambda^2} m_1(\lambda^2) + 2m_2(\lambda^2) = 0$$

одиночной упругой пластины, погруженной в жидкость. Алгебраический порядок функции $l(\lambda)$ равен $2S_1 + 1$, поэтому на римановой поверхности уравнение (2.4) имеет $2(2S_1 + 1)$ корней. Соответствующие корни уравнения (2.3) назовем пластинными. Корни второй группы (их счетное множество) приближаются при увеличении плотности материала стенок ($\rho_0 \rightarrow \infty$) к волновым числам $\zeta_N = \sqrt{k^2 - (\pi N / a)^2}$ нормальных волн волновода с идеально жесткими стенками, дисперсионное уравнение для которого имеет вид

$$1 - \exp(2ai\sqrt{k^2 - \lambda^2}) = 0$$

Такие корни условимся называть волноводными. Отметим, что если уравнение (2.3) переписать в виде

$$(2.5) \quad 1 - \exp(2ai\sqrt{k^2 - \lambda^2}) = \frac{2i}{\sqrt{k^2 - \lambda^2}} \frac{m_2(\lambda^2)}{m_1(\lambda^2)}$$

то при $|\lambda| \rightarrow \infty$ правая часть уравнения (2.5) будет порядка $1/\lambda^{(1+2S_1-2S_2)}$, поэтому при $N \rightarrow \infty$ для волноводных корней справедлива асимптотика

$$\zeta_N \sim i\sqrt{(\pi N / a)^2 - k^2}$$

и корни с ростом N асимптотически приближаются к линии

$$\text{Im } \sqrt{k^2 - \lambda^2} = 0$$

Проведем теперь разрез на комплексной плоскости λ от точки $\lambda = k$ так, чтобы он проходил через волноводные корни уравнения (2.3), не задевая пластинных корней.

Уравнения (2.1), (2.2) будут удовлетворяться при выполнении следующих условий:

$$(2.6) \quad \begin{aligned} F_s(\lambda) l_s(\lambda) + \frac{2Ai}{\lambda - \mu} m_1(\mu^2) \sqrt{k^2 - \mu^2} \sin(a \sqrt{k^2 - \mu^2}) &= u^+(\lambda) \\ F_s(\lambda) &= u^-(\lambda) \end{aligned}$$

где u^+ (u^-) — функция, аналитическая выше (ниже) контура интегрирования.

Исключая $F_s(\lambda)$ из условий (2.6), приходим к неоднородной краевой задаче Римана [3], которая состоит в отыскании двух функций $u^+(\lambda)$, $u^-(\lambda)$ по линейному соотношению между ними, выполненному на вещественной оси.

Следуя методу решения подобной задачи Римана, приведенному в [2], имеем

$$(2.7) \quad \begin{aligned} F_s(\lambda) &= \frac{1}{l_s^-(\lambda)} \left[g_s(\lambda) + \frac{2Aim_1(\mu^2)}{(\mu - \lambda) l_s^+(\mu)} \sqrt{k^2 - \mu^2} \sin(a \sqrt{k^2 - \mu^2}) \right] \\ l_s(\lambda) &= l_s^+(\lambda) l_s^-(\lambda), \quad l_s^\pm(\lambda) = O(\lambda^{S_1+1/2}), \quad |\lambda| \rightarrow \infty \end{aligned}$$

Здесь $g_s(\lambda)$ — полином степени $S_1 - 1$ с S_1 произвольными коэффициентами, определяемыми далее; $l_s^\pm(\lambda)$ — результат факторизации функции $l_s(\lambda)$, причем функция $l_s^+(\lambda)$ ($l_s^-(\lambda)$) аналитична в верхней (нижней) полуплоскости.

Аналогичные рассуждения для антисимметричной части поля дают

$$\begin{aligned} F_a(\lambda) &= \frac{1}{l_a^-(\lambda)} \left[g_a(\lambda) - \frac{2Am_1(\mu^2)}{(\mu - \lambda) l_a^+(\mu)} \sqrt{k^2 - \mu^2} \cos(a \sqrt{k^2 - \mu^2}) \right] \\ l_a(\lambda) &= i \sqrt{k^2 - \lambda^2} m_1(\lambda^2) [1 + \exp(2ai \sqrt{k^2 - \lambda^2})] + 2m_2(\lambda^2) \end{aligned}$$

где $l_a^\pm(\lambda)$ — результат факторизации функции $l_a(\lambda)$.

3. Факторизация $l_s(\lambda)$. Для построения факторизационной формулы воспользуемся методом, изложенным в [4]. В соответствии с п. 2 функция $l_s(\lambda)$ в полосе $|\operatorname{Im} \lambda| < \tau$, $\tau < \operatorname{Im} k$ не имеет нулей. Видно, что существует такая комплексная постоянная, что

$$\begin{aligned} \lim_{\operatorname{Re} \lambda \rightarrow \infty} l_s(\lambda) / (Q \gamma^{2S_1+1}) &= 1, \quad |\operatorname{Im} \lambda| < \tau, \quad \gamma = \sqrt{\lambda^2 - k^2} = \\ &= -i \sqrt{k^2 - \lambda^2} \end{aligned}$$

Как было отмечено, $l_s(\lambda)$ имеет конечное число пластинных корней, лежащих вне полосы $|\operatorname{Im} \lambda| > \tau$ на дневном листе римановой поверхности, и счетное множество волноводных корней, лежащих на разрезе.

Построим функцию

$$F(\lambda) = \ln [l_s(\lambda) / (Q \gamma^{2S_1+1})]$$

Для разности

$$(3.1) \quad F(\lambda) - F(0) = \ln l_s(\lambda) - \ln l_s(0) - (S_1 + 1/2) \ln(1 - \lambda^2 / k^2)$$

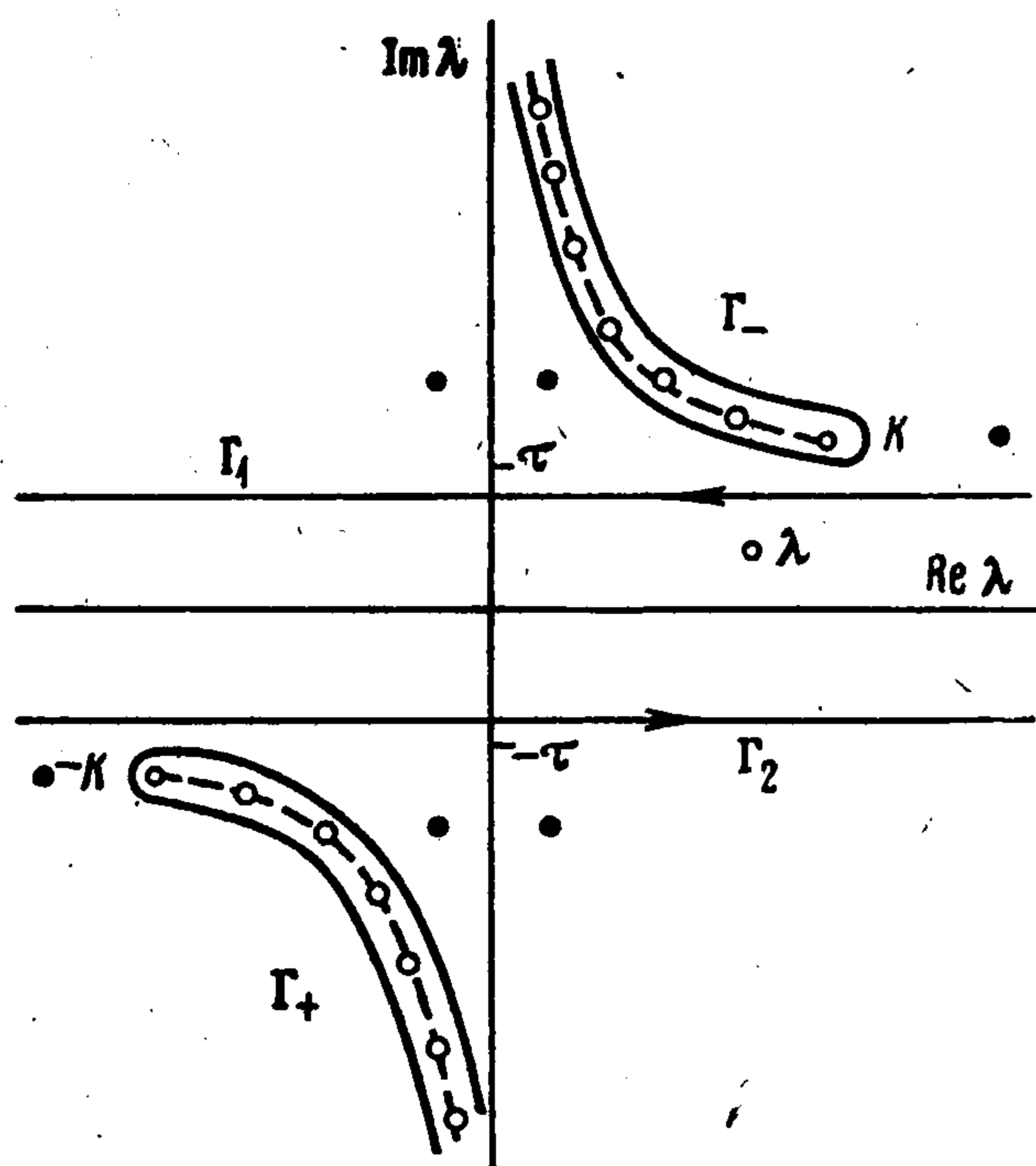
интеграл типа Коши равен

$$(3.2) \quad F(\lambda) - F(0) = \frac{1}{2\pi i} \int_{\Gamma_1 + \Gamma_2} \frac{\lambda F(z)}{z(z - \lambda)} dz$$

Контур $\Gamma_1 + \Gamma_2$ получается «раздуванием» замкнутой петли, охватывающей точки $z = 0$ и $z = \lambda$ (см. фиг. 2, где светлыми точками обозначены

волноводные корни уравнения (2.3), темными точками — пластинные; штриховые линии — разрезы комплексной плоскости). Интегралы по бесконечно удаленным участкам контура, параллельным мнимой оси, равны нулю. Выражая $l_s(\lambda)$ из (3.1) и (3.2), имеем

$$(3.3) \quad l_s(\lambda) = l_s(0) \left(1 - \frac{\lambda^2}{k^2}\right)^{(S_1+1/2)} \exp \left[\frac{1}{2\pi i} \int_{\Gamma_1+\Gamma_2} \frac{\lambda F(z)}{z(z-\lambda)} dz \right]$$



Фиг. 2

Каждый множитель в (3.3) факторизуется просто, поэтому

$$(3.4) \quad l_s^+(\lambda) = l_s^-(-\lambda) = \sqrt{l_s(0)} \left(1 + \lambda/k\right)^{S_1+1/2} \exp E_+(\lambda)$$

$$(3.5) \quad E_+(\lambda) = \frac{1}{2\pi i} \int_{\Gamma_2} \frac{\lambda F(z)}{z(z-\lambda)} dz$$

Функция $E_+(\lambda)$ ограничена при $|\lambda| \rightarrow \infty$, поэтому

$$l_s^+(\lambda) \sim \lambda^{S_1+1/2}, \quad |\lambda| \rightarrow \infty, \quad \text{Im } \lambda > -\tau$$

Проинтегрировав в (3.5) по частям и заменив z на $-z$, получим

$$E_+(\lambda) = -\frac{1}{2\pi i} \int_{\Gamma_1} \left[\frac{2S_1+1}{k^2-z^2} z + \frac{l_s'(z)}{l_s(z)} \right] \ln \left(1 + \frac{\lambda}{z}\right) dz$$

Деформируя теперь контур Γ_1 в кривую Γ_- , охватывающую разрез, и учитывая вычеты функции $l_s'(z)/l_s(z)$ в пластинных нулях ξ_i функции $l_s(z)$, лежащих в верхней полуплоскости днелного листа, получим

$$(3.6) \quad l_s^+(\lambda) = \sqrt{l_s(0)} \left(1 + \lambda/k\right)^{S_1+1/2} \prod_{\text{Im } \xi_i > 0} \left(1 + \frac{\lambda}{\xi_i}\right) \times \exp \left\{ \frac{1}{2\pi i} \int_{\Gamma_-} \left[\frac{2S_1+1}{k^2-z^2} z + \frac{l_s'(z)}{l_s(z)} \right] \ln \left(1 + \frac{\lambda}{z}\right) dz \right\}$$

Преобразуем факторизационную формулу (3.6) так, чтобы выделить вклад волноводных полюсов функции $l_s'(k)/l_s(z)$. Введем новую переменную $w = \sqrt{k^2-z^2}$. Тогда $z = \sqrt{k^2-w^2}$, где ветвь квадратного корня выбрана так, что $\text{Im } \sqrt{k^2-w^2} > 0$. Интеграл в (3.6) примет вид

$$Q_+(\lambda) = -\frac{1}{2\pi i} \int_{\Gamma_-} \left[\frac{2S_1+1}{w} - B_s(w) \right] \ln \left(1 + \frac{\lambda}{\sqrt{k^2-w^2}}\right) dw$$

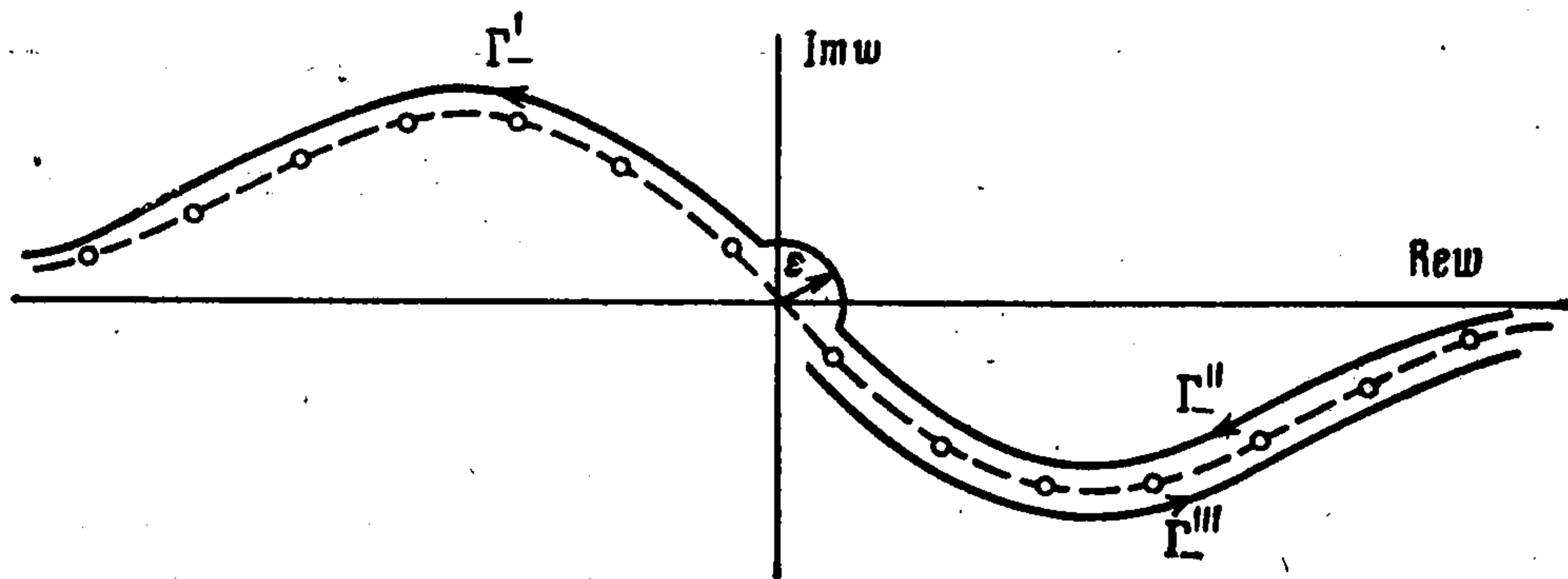
$$B_s(w) = \frac{1}{l_s(w)} \frac{dl_s(\sqrt{k^2-w^2})}{dw}$$

Контур Γ_- на w -плоскости указан на фиг. 3 и состоит из ветвей Γ_-' и Γ_-'' . Следуя [4], вычислим интеграл по полуокружности малого радиуса, огибающей точку $w = 0$. Если обозначить S_0 вычет функции $B_s(w)$ в

$w = 0$, то интеграл будет равен $(S_0/2 - S_1 - 1/2) \ln(1 + \lambda/k)$. Интеграл по ветви Γ'_- заменой $w \rightarrow -w$ сводится к интегралу по дуге Γ'' , в результате имеем

$$(3.7) \quad Q_+(\lambda) = (S_0/2 - S_1 - 1/2) \ln(1 + \lambda/k) + \\ + \lim_{M \rightarrow \infty} \left[\sum_{n=1}^{\infty} \ln \left(1 + \frac{\lambda}{\zeta_n} \right) + \int_0^{\zeta_m} K_s(w) \ln \left(1 + \frac{\lambda}{\sqrt{k^2 - w^2}} \right) dw \right] \\ K_s(w) = -\frac{1}{2\pi i} [B_s(w) + B_s(-w)]$$

где первое слагаемое под знаком предела — сумма вычетов функции $B_s(w)$ в волноводных нулях ζ_n функции $l_s(\lambda)$, второе слагаемое — интеграл по разрезу вплоть до корня ζ_m .



Фиг. 3

Можно показать, что

$$(3.8) \quad K_s(w) = -a/\pi + K_{1s}(w) \\ K_{1s}(w) = \\ = -\frac{1}{\pi} \frac{\sin^2(aw) [\sqrt{k^2 - w^2} m_1 m_2 + w^2 (m_1 m_2' - m_1' m_2)] - a \sqrt{k^2 - w^2} m_2^2}{\sqrt{k^2 - w^2} [w^2 \sin^2(aw) m_1^2 + w \sin(2aw) m_1 m_2 + m_2^2]} \\ K_{1s}(w) = O(w^{-2(1+S_1-S_2)}), \quad |w| \rightarrow \infty$$

В выражении (3.8), таким образом, явно выделено слагаемое $(-a/\pi)$, отвечающее идеально жесткому волноводу. Отметим, что в выражении (3.7) интеграл от функции

$$-\frac{a}{\pi} \ln \left(1 + \frac{\lambda}{\sqrt{k^2 - w^2}} \right)$$

по разрезу можно заменить интегралом по участку вещественной оси от $w = 0$ до $w = M\pi/a$. Подставляя возникающий предел, вычисленный в [4], а также соотношения (3.8), (3.7) в (3.6), получим окончательно (C — постоянная Эйлера)

$$(3.9) \quad l_s^+(\lambda) = l_s^-(-\lambda) = \sqrt{l_s(0)} (1 + \lambda/k)^{S_0/2} \prod_{\text{Im } \xi_i > 0} \left(1 + \frac{\lambda}{\xi_i} \right) \times \\ \times \prod_{n=1}^{\infty} \left(1 + \frac{\lambda}{\zeta_n} \right) \exp \left(\frac{ia\lambda}{\pi n} \right) \exp \left[\frac{ia\lambda}{\pi} \left(1 - C + \ln \left(\frac{2\pi}{ka} \right) + i \frac{\pi}{2} + \right. \right. \\ \left. \left. + \frac{ia\gamma}{\pi} \ln \left(\frac{\lambda - \gamma}{k} \right) \right) \right] \exp \left[\int_0^{\infty} K_{1s}(w) \ln \left(1 + \frac{\lambda}{\sqrt{k^2 - w^2}} \right) dw \right]$$

Интеграл в (3.9) берется по разрезу. Формула для $l_a^+(\lambda)$ записывается аналогично с заменой $K_{1s}(w)$ на

$$K_{1a}(w) = \frac{1}{\pi} \frac{\cos^2(aw) [\sqrt{k^2 - w^2} m_1 m_2 + w^2 (m_1 m_2' - m_1' m_2)] - a \sqrt{k^2 - w^2} m_2^2}{\sqrt{k^2 - w^2} [w^2 \cos^2(aw) m_1^2 - w \sin(2aw) m_1 m_2 + m_2^2]}$$

4. Гранично-контактные условия. Отметим, что S_1 коэффициентов полинома $g_s(\lambda)$ — пока произвольные постоянные, для определения которых необходимо S_1 гранично-контактных условий, задающих режим на кромках стенок волновода. Общий вид гранично-контактных условий таков:

$$(4.1) \quad R_j P(+0, a) = \lim_{x \rightarrow +0} \left\{ S_{1j} \left(-i \frac{\partial}{\partial x} \right) \frac{\partial}{\partial y} P(x, a) + S_{2j} \left(-i \frac{\partial}{\partial x} \right) [P(x, a+0) - P(x, a-0)] \right\} = 0, \quad j = 1, 2, \dots, S_1$$

Для частного случая изгибных колебаний (1.4) тонкой пластины со свободной кромкой имеем $S_1 = 2$ и гранично-контактные условия имеют вид

$$\lim_{x \rightarrow +0} \frac{\partial^k}{\partial x^k} \frac{\partial}{\partial y} P(x, a) = 0, \quad k = 2, 3$$

Физический смысл этих условий состоит в отсутствии на кромках пластин сосредоточенных сил и моментов. Гранично-контактные условия для симметричной по y части поля $P_s(x, y)$ таковы:

$$(4.2) \quad R_j P_s(x, y) = -AS_{1j}(\mu) \sqrt{k^2 - \mu^2} \sin(a \sqrt{k^2 - \mu^2}) + \frac{1}{4\pi} \int_{-\infty}^{+\infty} \exp(+i0\lambda) F_s(\lambda) r_j(\lambda) d\lambda = 0, \quad j = 1, 2, \dots, S_1$$

Здесь

$$r_j(\lambda) = iS_{1j}(\lambda) \sqrt{k^2 - \lambda^2} [1 - \exp(2ai \sqrt{k^2 - \lambda^2})] + 2S_{2j}(\lambda) \int_{-\infty}^{+\infty} \exp(+i0\lambda) f(\lambda) d\lambda = \lim_{x \rightarrow +0} \int_{-\infty}^{+\infty} \exp(i\lambda x) f(\lambda) d\lambda$$

Написав явное разложение полинома $g_s(\lambda)$ по степеням λ

$$g_s(\lambda) = C_0 + C_1 \lambda + \dots + C_{S_1-1} \lambda^{S_1-1}$$

и подставив в (4.1) выражение для $F_s(\lambda)$ из (2.7), получим систему из S_1 уравнений с S_1 неизвестными $C_n(k)$

$$(4.3) \quad \sum_{n=0}^{S_1-1} C_n I_{jn} = 4\pi A S_{1j}(\mu) \sqrt{k^2 - \mu^2} \sin(a \sqrt{k^2 - \mu^2}) - \frac{2A m_1(\mu^2) \sqrt{k^2 - \mu^2} \sin(a \sqrt{k^2 - \mu^2})}{l_s^+(\mu)} J_j, \quad j = 1, 2, \dots, S_1$$

$$I_{nj}(k) = \int_{-\infty}^{+\infty} \exp(+i0\lambda) \frac{l_s^+(\lambda)}{l_s(\lambda)} \lambda^n r_j(\lambda) d\lambda, \quad n = 0, 1, \dots, S_1 - 1$$

$$(4.4) \quad J_j(k) = \int_{-\infty}^{+\infty} \exp(+i0\lambda) \frac{l_s^+(\lambda)}{l_s(\lambda)} \frac{1}{\lambda - \mu} r_j(\lambda) d\lambda$$

Интегралы (4.3), (4.4), вообще говоря, расходящиеся. Для их регуляризации [2] будем деформировать контур интегрирования к разрезу в верхней полуплоскости λ .

При этом будут пересечены полюса подынтегрального выражения, расположенные в пластинных корнях $l_s^-(\lambda)$

$$(4.5) \quad I_{nj}(k) = 2\pi i \sum_m \frac{\lambda^n r_j(\lambda) l_s^+(\lambda)}{l_s'(\lambda)} \Big|_{\lambda=\xi_m} + \int_{\Gamma_-} \frac{\exp(+i0\lambda) \lambda^n r_j(\lambda)}{l_s^-(\lambda)} d\lambda$$

Суммирование в (4.5) идет по пластинным корням ξ_m уравнения (2.3), лежащим в верхней полуплоскости λ . Учитывая соотношения обхода для функций $l_s^-(\lambda)$, полученные в [2]

$$l_s^-(\lambda) \Big|_{\lambda \in \Gamma_-''} = \frac{l_s^\circ(\lambda)}{l_s(\lambda)} l_s^-(\lambda) \Big|_{\lambda \in \Gamma_-'}$$

$$l_s^\circ(\lambda) = -\sqrt{k^2 - \lambda^2} m_1(\lambda^2) [1 - \exp(-2ai\sqrt{k^2 - \lambda^2})] + 2m_2(\lambda^2)$$

Значения функции $l_s^\circ(\lambda)$ на основном листе совпадают со значениями $l_s(\lambda)$ на втором листе.

Теперь интеграл по Γ_- можно заменить интегралом по берегу Γ_-''

$$(4.6) \quad I_{nj}(k) = 2\pi i \sum_m \frac{\lambda^n r_j(\lambda) l_s^+(\lambda)}{l_s'(\lambda)} \Big|_{\lambda=\xi_m} + \\ + 8i \int_{\Gamma_-''} \exp(+i0\lambda) \frac{\lambda^n \sqrt{k^2 - \lambda^2} \sin^2(a\sqrt{k^2 - \lambda^2})}{l_s^-(\lambda) l_s^\circ(\lambda)} [m_2 S_{1j} - m_1 S_{2j}] d\lambda$$

Для сходимости интеграла в (4.6) наложим на функцию $r_j(\lambda)$ ограничение

$$(4.7) \quad [m_2(\lambda^2) S_{1j}(\lambda) - m_1(\lambda^2) S_{2j}(\lambda)] = o(\lambda^{2S_1}), \quad |\lambda| \rightarrow \infty$$

т. е. функция в левой части (4.7) растет на бесконечности медленнее, чем $|\lambda|^{2S_1}$. Как отмечено в [2], ограничение вида (4.7) на $r_j(\lambda)$ означает необходимую, вытекающую из физики явления связь между гранично-контактными операторами R_j и граничным оператором L . Для интегралов J_j аналогичным путем получаем выражение

$$J_j(k) = 2\pi i \sum_m \frac{r_j(\lambda) l_s^+(\lambda)}{(\lambda - \mu) l_s'(\lambda)} \Big|_{\lambda=\xi_m} + 2\pi i \frac{r_j(\mu)}{l_s^-(\mu)} + \\ + 8i \int_{\Gamma_-''} \frac{\sqrt{k^2 - \lambda^2} \sin^2(a\sqrt{k^2 - \lambda^2}) [m_2 S_{1j} - m_1 S_{2j}]}{l_s^-(\lambda) l_s^\circ(\lambda)} d\lambda$$

Выражения для гранично-контактных интегралов для антисимметричной по y части поля $P_a(x, y)$ получаются сходным путем.

Автор благодарит Д. П. Коузова и Б. П. Белинского за полезное обсуждение.

Поступила 28 V 1979

ЛИТЕРАТУРА

1. Вайнштейн Л. А. Теория дифракции и метод факторизации. М., «Сов. радио», 1966.
2. Коузов Д. П. Дифракция цилиндрической гидроакустической волны на стыке двух полубесконечных пластин. ПММ, 1969, т. 33, вып. 2.
3. Гахов Ф. Д. Краевые задачи. М., «Наука», 1977.
4. Миттра Р., Ли С. Аналитические методы теории волноводов. М., «Мир», 1974.